

ВЕЙВЛЕТ-МОДЕЛИ В МЕТОДЕ РИТЦА ДЛЯ РЕШЕНИЙ УРАВНЕНИЯ НАВЬЕ-СТОКСА
RITZ MODELING OF THE NAVIER-STOXES EQUATION USING HARMONIC WAVELETS

Аннотация. Рассмотрено приложение периодических гармонических вейвлетов для создания вейвлета-Ритца решения модельного одномерного случая уравнения Навье-Стокса.

Summary. Representation Ritz modeling of the Navier-Stokes equation using harmonic wavelets.

В настоящее время использование вейвлетов весьма популярно при разработке численных схем для решений дифференциальных уравнений в частных производных. В предлагаемой работе используются комплексные гармонические вейвлеты как базисные функции в одном из методов (например, Ритца) для решений модельного уравнения Навье-Стокса с постоянными коэффициентами [3]. Хотя, как известно, гармонические вейвлеты плохо локализованы в пространстве (убывают приблизительно как x^{-1} на бесконечности), они не перекрываются в спектральном пространстве, что делает их особенно полезными при изучении локальных взаимодействий в волновом пространстве.

Целью работы является доказательство перспективности использования базиса гармонических вейвлетов для известного в математической физике метода Ритца на примере решения дифференциального уравнения Навье-Стокса в частных производных.

Рассмотрим комплекснозначный базис Литтлвуда-Пэйлих [1, 2], определенный при помощи материнского вейвлета [3,5]:

$$\psi(x) = \frac{\exp(4i\pi x) - \exp(2i\pi x)}{2i\pi x} \tag{1}$$

Ортонормированный базис можно, например, сконструировать $\{\psi(x) = 2^{j/2} \psi(2^j x - k)\}$ сдвигом и расширением материнского вейвлета, где j – масштабный коэффициент, а k – коэффициент сдвига. В итоге базис имеет вид:

$$\psi_k^j(x) = \frac{\exp(i\omega k / 2^j)}{2\pi \times 2^{j/2}} \tag{2}$$

для $2\pi \times 2^j \leq \omega 2\pi \times 2^{j+1}$ и равен 0 в других случаях.

Важнейшим шагом в конструировании алгоритма является периодизация вейвлета. Периодические вейвлеты могут быть сконструированы при помощи стандартной процедуры:

$$\psi_k^{j \text{ per}}(x) = \sum_{l=-\infty}^{\infty} \psi_k^j(x - l) \tag{3}$$

на единичном отрезке. При этом все свойства вейвлетов переходят на их периодические копии [4].

Из (3) получаем периодические вейвлеты:

$$\psi_k^{j \text{ per}}(x) = \frac{1}{2^{j/2}} \sum_{m_j=2^j}^{2^{j+1}-1} \exp[-2i\pi m_j (x - k / 2^j)], \tag{4}$$

где $j = 0, \dots, r$ и $k = 0, \dots, 2^j - 1$.

Рис. 1 изображает действительную и мнимую части периодических гармонических вейвлетов.

Интересно заметить, что (4) имеет вид, подобный Фурье-преобразованию и поэтому для него, как известно, справедливы большинство свойств преобразования Фурье. Определим дискретное вейвлет-преобразование как $\{f_l\}$:

$$f_l = \sum_{j=0}^r \sum_{k=0}^{2^j-1} a_k^j \psi_{k,l}^j, \tag{5}$$

где $\psi_{k,l}^j = \psi_k^j(l/N)$ – дискретный 1-периодический гармонический вейвлет (символ «рег» отброшен для удобства).

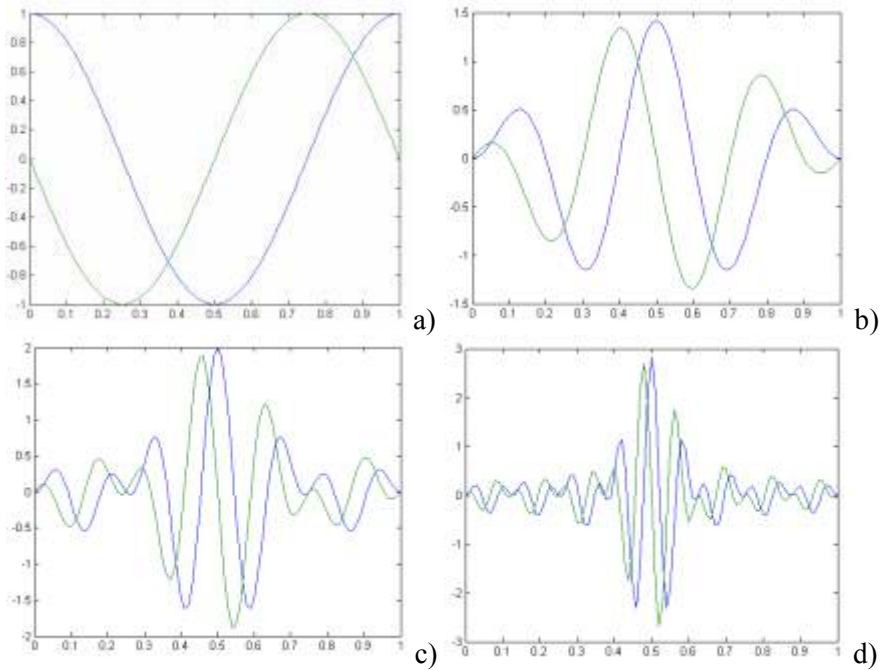


Рисунок 1 – Действительная и мнимая части периодических гармонических вейвлетов
 а) $\psi_0^0(x)$, б) $\psi_1^1(x)$, в) $\psi_2^2(x)$, д) $\psi_3^3(x)$

Тогда коэффициенты разложения, соответственно, имеют вид

$$a_s = \sum_{k=0}^{2^j-1} F_{2^j+k} \exp(2i\pi ks / 2^j), \quad (6)$$

$$s = 2^j, \dots, 2^{j+1} - 1,$$

где $\{F\}$ – коэффициенты Фурье для $\{f\}$.

Заметим, что $a_{N-s} = \bar{a}_s$, кроме случаев a_0 и $a_{N/2}$, которые всегда являются действительными величинами. Это свойство позволяет разработать эффективный и относительно простой параллельный алгоритм для подсчета коэффициентов вейвлетов.

Используем гармонические вейвлеты для модельного уравнения Навье-Стокса с постоянными коэффициентами и периодическими граничными условиями, определенными $\forall x \in [0,1]$,

$$\frac{\partial u}{\partial t} + u \frac{\partial u}{\partial x} - \nu \frac{\partial^2 u}{\partial x^2} = 0, \quad (7)$$

где $u(x, t)$ – скорость, а ν – кинематическая вязкость, с начальными условиями

$$u(x, 0) = \sin 2\pi x. \quad (7')$$

Используя стандартный подход в методе Ритца, представляя $u(x, t)$ в виде амплитуды зависящей от времени, и базиса, зависящего от пространственной переменной, находим решение (7) в форме:

$$u(x, t) = \sum_{j=0}^r \sum_{k=0}^{2^j-1} a_k^j(t) \psi_k^j(x), \quad (8)$$

где

$$\langle f, g \rangle = \int_0^1 f(x) \bar{g}(x) dx. \quad (9)$$

Здесь тильда обозначает комплексное сопряжение.

Подставляя (8) в (7), используя (9), получаем следующую систему уравнений, которая выражает конечно-пространственное отображение уравнения Навье-Стокса на пространство вейвлетов, т.е.

$$\frac{d}{dt} a_s^r - \nu \sum_{j=0}^r \sum_{k=0}^{2^j-1} L_{ks}^{jr} a_k^j(t) + \sum_{j=0}^r \sum_{p=0}^r \sum_{k=0}^{2^j-1} \sum_{q=0}^{2^p-1} N_{kqs}^{jpr} a_k^j a_q^p = 0, \quad (10)$$

где,

$$L_{ks}^{j\gamma} = \left\langle \frac{d^2}{dx^2} \psi_k^j, \psi_s^\gamma \right\rangle \quad (11)$$

$$L_{ks}^{j\gamma} = -\frac{4\pi^2}{2^{(j+\gamma)/2}} \sum_{m_1=-2^j}^{2^{j+1}-1} \sum_{m_r=-2^\gamma}^{2^{r+1}-1} m_j^2 \cdot \exp \left[2i\pi \left(\frac{m_j k}{2^j} - \frac{m_r s}{2^\gamma} \right) \right] \delta_{m_1, m_r}, \quad (12)$$

и

$$N_{kqs}^{j\gamma\gamma} = \left\langle \psi_k^j \frac{d}{dx} \psi_q^\gamma, \psi_s^\gamma \right\rangle, \quad (13)$$

$$N_{kqs}^{j\gamma\gamma} = -\frac{2i\pi}{2^{(j+\gamma+\gamma)/2}} \sum_{m_1=-2^j}^{2^{j+1}-1} \sum_{m_q=-2^\gamma}^{2^{\gamma+1}-1} \sum_{m_r=-2^\gamma}^{2^{r+1}-1} m_p \cdot \exp \left[2i\pi \left(\frac{m_j k}{2^j} - \frac{m_p q}{2^\gamma} - \frac{m_r s}{2^\gamma} \right) \right] \delta_{m_1+m_q, m_r}, \quad (14)$$

есть линейный и нелинейный коэффициенты соответственно, δ_{m_n} является символом Кронекера.

Чтобы проиллюстрировать предложенную схему, получим вейвлет Ритца для решения уравнения Навье-Стокса при $r = 3$ и различных ν , используя периодические гармонические вейвлеты на $x \in [0, 1]$.

Для решения (10) применяется стандартный многошаговый метод Адамса. Начальные условия (7') также раскладываются по периодическим гармоническим вейвлетам для использования их при решении уравнения (10). Интервал изменения временной переменной t взят равным $[0, 1]$. При решении (10) получен набор α_k^j , которые потом были подставлены в (8). В результате было получено решение $u(x, t)$, изображенное на рис. 2 для значений $\nu = 0,025$.

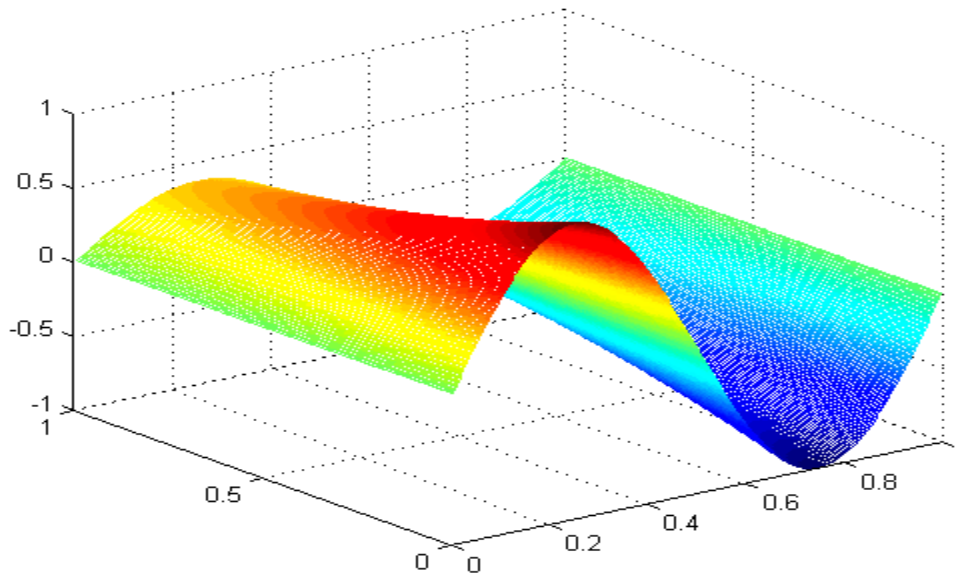


Рисунок 2 – Вейвлет Ритца решения уравнения Навье-Стокса для $\nu = 0,025$

Для сравнения было также получено решение для $\nu = 0,0025$, представленное на рис. 3.

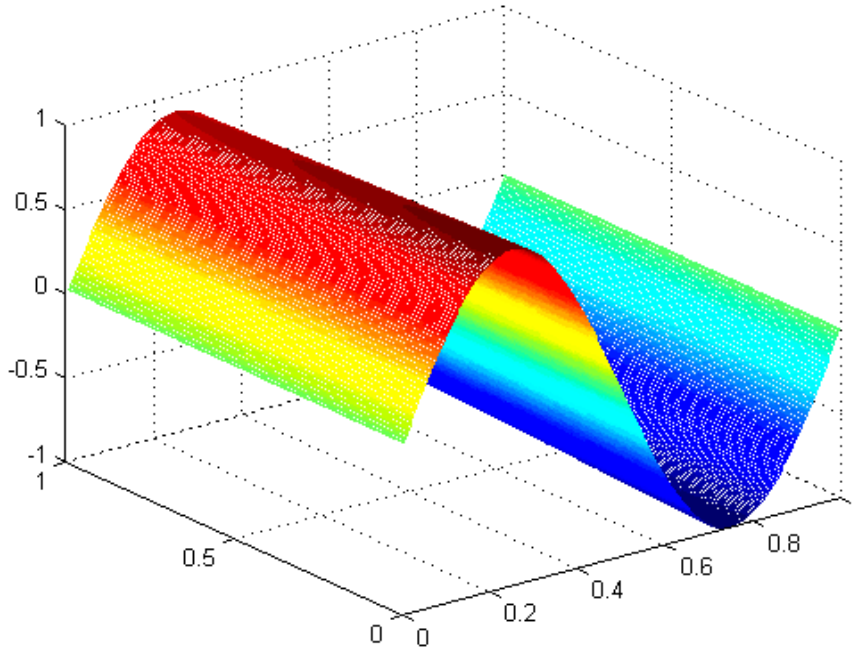


Рисунок 3 – Вейвлет Ритца решения уравнения Навье-Стокса для $\nu = 0,0025$

Явно заметно уменьшение влияния второй производной $\frac{\partial^2 u}{\partial x^2}$ в решении (7).

Все численные расчеты проводились в среде Matlab 6.1 с использованием стандартных средств.

Полученные в предлагаемой работе результаты по приложению периодических гармонических вейвлетов для создания вейвлета Ритца решения модельного одномерного случая уравнения Навье-Стокса с периодическими начальными условиями не противоречат известным решениям, требующим сравнительно более значительных затрат.

Есть все основания предполагать, что в перспективе гармонические вейвлеты могут быть полезными для получения аналитических приближений общего уравнения Навье-Стокса.

Более подробное обоснование преимуществ гармонических вейвлетов в сравнении с ранее известными алгоритмами подобных расчетов может быть получено при переходе от одномерной схемы к многомерной. Такая работа предполагается авторами в перспективе.

Литература

1. *Muniandy S.V., Moroz I.M.* Discrete Wavelet Transforms: Theory and Implementation. Physics letters A 235, (1997). – 123 p.
2. *Добешу И.* Десять лекций по вейвлетам, 2001. – 67 с.
3. *Флетчер К.* Численные методы на основе метода Ритца-Галеркина, 1988. – 220 с.
4. *Edwards T.* Discrete Wavelet Transforms: Theory and Implementation, 1992. – 178 p.
5. *Donoho D.* "Nonlinear Wavelet Methods for Recovery of Signals, Densities, and Spectra from Indirect and Noisy Data", Different Perspectives on Wavelets, Proceeding on Symposia in Applied Mathematics, – Vol. 47, I., Daubechies ed. Amer. Math. Soc., Providence, R.I., 1993. – P. 173-205.